



خاستگاه و شکل گیری آتشفشنایی فلزیک ائوسن و آدکیتی نئوزن کجان (غرب نایین)

زهرا فردشانی^۱، محمد رضا قربانی^{*۱}، محسن آروین^۲

۱- گروه زمین‌شناسی، دانشکده علوم، دانشگاه تربیت مدرس

۲- بخش زمین‌شناسی، دانشکده علوم، دانشگاه شهید باهنر کرمان

(دریافت مقاله: ۹۱/۳/۳، نسخه نهایی: ۹۱/۹/۱۲)

چکیده: سنگ‌های آتشفشنایی فلزیک، بخشی از توالی آتشفشنان منطقه‌ی کجان واقع در زون ماقمایی ارومیه-دختر، را تشکیل می‌دهد. این سنگ‌ها را می‌توان براساس فراوانی و الگوهای عناصر کمیاب و خاک‌های نادر به دو رشتہ‌ی جدا از هم تقسیم کرد. در یک رشتہ، الگوهایی از عناصر کمیاب و خاک‌های نادر کم شیب ($La/Yb < 17$) دیده می‌شود که دارای بیهنجاری‌های منفی Ti , P , Sr و Eu هستند. ویژگی‌های این رشتہ که آن را رشتہ‌ی آهکی-قلیایی عادی، می‌نامیم قابل مقایسه با گدازه‌های فلزیک حاصل از تحول ماقمایی گدازه‌های بازی ریشه گرفته از گوشته در مناطق فروزانش است. در رشتہ‌ی دیگر، که آن را رشتہ‌ی آدکیتی می‌نامیم الگوهای عناصر کمیاب و خاک‌های نادر، پرشیب‌باند ($La/Yb > 28$) و بیهنجاری مشیت Sr مشاهده می‌شود. خاستگاه ماقماهایی که سنگ‌های رشتہ‌ی دوم را پدید آورده‌اند، احتمالاً ذوب لبه فرو رونده نئوتیس در فشارهای بالا (کانی شناسی آمفیبول اکلوژیت) بوده است.

واژه‌های کلیدی: آتشفشنایی فلزیک؛ آدکیت؛ آلدگی پوسته‌ای؛ تبلور بخشی؛ نایین.

(AFC) ایجاد می‌شوند [۵]. این فرآیند اغلب برای دسته‌های کوچک ماقمایی فلزیک پیشنهاد می‌شود زیرا برای تولید حجم‌های زیاد ماقمای فلزیک نیاز به حجم زیاد ماقمای بازالتی است. براساس مدل دوم سنگ‌های آتشفشنایی فلزیک حاصل ذوب بخشی پوسته هستند [۶]. در این مدل ماقمای بازالتی، گرمای لازم برای ذوب بخشی سنگ‌های پوسته‌ای را فراهم می‌کند، این مدل برای حجم‌های زیاد ماقمای فلزیک مناسب‌تر است.

روش بررسی

در این پژوهش پس از بررسی حدود ۶۰ تیغه‌ی نازک از سنگ‌های آتشفشنایی فلزیک منطقه‌ی مورد بررسی، ۱۰ نمونه برای آنالیز شیمیایی عناصر اصلی و کمیاب انتخاب شدند. آنالیز شیمیایی عناصر اصلی به روش XRF در دانشگاه تربیت مدرس و آنالیز عناصر کمیاب، به روش ICP-MS (از طریق انحلال با

مقدمه

زون ماقمایی ارومیه-دختر سنگ‌های آتشفشنایی با طیف ترکیبی بازی تا فلزیک و مواد آذرآواری را دربرمی‌گیرد. ماقماتیسم زون ارومیه-دختر به فروزانش صفحه‌ی نئوتیس به زیر صفحه‌ی ایران نسبت داده شده است، برخی پژوهشگران آن را از نوع جزایر قوسی [۱] و برخی دیگر از نوع حواشی قاره‌ای فعال [۲] ارزیابی کرده‌اند. بهر حال سنگ‌های آتشفشنایی فلزیک زون ارومیه-دختر، کمتر موضوع یک بررسی مستقل بوده‌اند [۳]. [۳] بیشتر سنگ‌های آتشفشنایی فلزیک زون ارومیه-دختر را محصول تبلور بخشی ماقمای بازی از گوشته و [۴] محصول ذوب بخشی پوسته معرفی کرده‌اند. دو مدل سنگ‌زایی کلی درباره‌ی خاستگاه سنگ‌های آتشفشنایی فلزیک ارائه شده‌اند. براساس یکی از این مدل‌ها سنگ‌های فلزیک از ماقمای مادر بازالتی به دنبال تبلور جدایشی همراه با آلدگی

* نویسنده مسئول، تلفن: ۰۲۱ (۸۲۸۸۴۴۳۵)، نامبر: ۰۲۱ (۸۲۸۸۴۴۰۵)، پست الکترونیکی: ghorbani@modares.ac.ir

کترهای انتخاب و دوباره آنالیز شدند و همخوانی بسیار بالایی در نتایج حاصل مشاهده شد، نتایج آنالیز شیمیایی عناصر اصلی و عناصر کمیاب در جدول ۱ آمده‌اند.

مخلوط اسیدی) در آزمایشگاه Genalysis استرالیا صورت پذیرفت. برای اطمینان از درستی و دقیق نتایج آنالیز شیمیایی به هر دو روش XRF و ICP-MS نمونه‌های تکراری به صورت

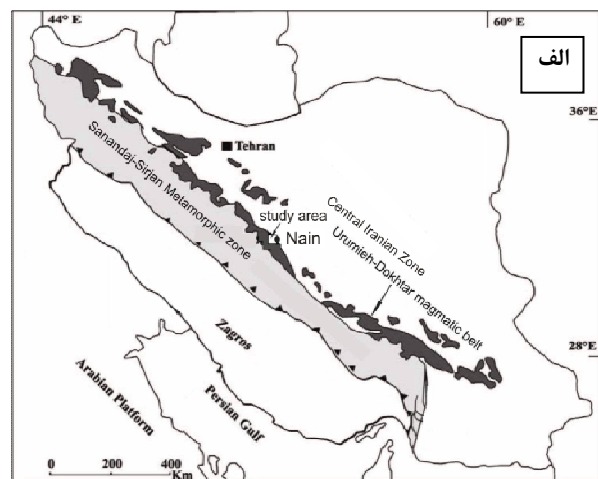
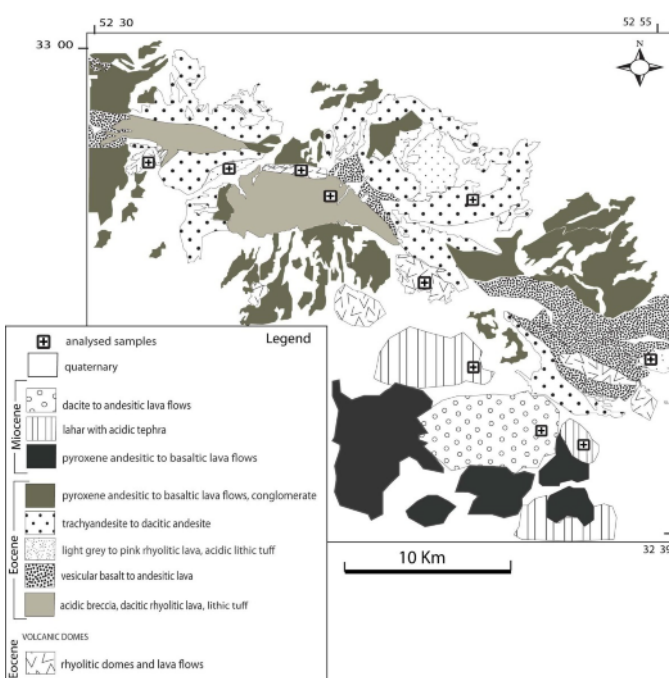
جدول ۱ نتایج آنالیز شیمیایی عناصر اصلی به روش XRF (به حسب %.wt) و عناصر کمیاب به روش ICP-MS (به حسب ppm).

ZF42	ZF34	ZF33	ZF44	ZF43	ZF40	ZF47	ZF46	ZF41	ZF30	Sample
۶۶,۸۰	۶۷,۴۰	۶۴,۷۴	۷۳,۲۸	۷۱,۳۶	۷۱,۹۹	۶۵,۴۲	۷۱,۵۴	۶۵,۴۰	۶۷,۸۷	SiO ₂ (wt%)
۰,۴۳	۰,۳۴	۰,۵۱	۰,۲۲	۰,۲۲	۰,۱۰	۰,۸۱	۰,۳۰	۰,۵۳	۰,۴۹	TiO ₂
۱۶,۹۵	۱۶,۲۴	۱۶,۶۸	۱۳,۷۲	۱۵,۵۴	۱۵,۰۲	۱۵,۱۷	۱۵,۳۳	۱۶,۸۲	۱۶,۱۹	Al ₂ O ₃
۳,۵۰	۳,۶۲	۵,۱۹	۲,۵۹	۲,۹۴	۲,۹۳	۶,۵۸	۲,۵۸	۶,۳۲	۳,۷۵	Fe ₂ O ₃
۱,۶۲	۱,۴۳	۲,۰۱	۰,۳۲	۰,۷۴	۰,۶۸	۱,۶۰	۰,۶۲	۱,۱۴	۰,۷۹	MgO
۳,۶۲	۳,۸۱	۴,۸۴	۱,۷۱	۱,۸۲	۱,۲۴	۲,۴۳	۱,۶۸	۳,۹۳	۲,۱۹	CaO
۴,۰۳	۳,۸۸	۳,۳۹	۰,۸۴	۳,۱۹	۴,۱۲	۴,۴۰	۳,۵۱	۴,۴۱	۴,۲۴	Na ₂ O
۲,۱۶	۲,۹۱	۲,۰۶	۶,۵۱	۳,۵۹	۳,۵۵	۳,۳۱	۴,۰۱	۱,۲۴	۳,۹۱	K ₂ O
۰,۱۹۶	۰,۲۱۳	۰,۱۷	۰,۰۳	۰,۰۶	۰,۰۶	۰,۲۵	۰,۰۷	۰,۱۷	۰,۱۲	P ₂ O ₅
۱,۶	۱,۶	۲,۱	۲,۹	۱,۰۶	۱,۱	۳,۱	۱,۱	۲	۱,۳	LOI
۹۹,۹۴	۹۹,۸۴	۹۹,۹۲	۹۹,۹۹	۹۹,۹۹	۹۹,۹۹	۹۹,۸۱	۱۰۰	۹۹,۸۰	۹۹,۹۷	Total
۴۵,۲۲	۴۱,۲۶	۴۰,۸۷	۱۸,۳۹	۳۰,۸۹	۲۹,۴۹	۳۰,۲۸	۳۰,۱۵	۲۴,۳۹	۲۶,۶۹	Mg#
۸۵۶,۳	۸۱۵,۸	۸۸۵,۳	۷۹۹,۶۰	۱۰,۱۷,۲۰	۱۰,۳۹,۷	۱۷۱۱,۷۰	۱۲۱۳,۹	۴۰,۲,۶۰	۱۰,۶۲,۸۰	Ba
۷۸,۹۵	۸۲,۴۵	۵۱,۴	۱۱۲,۵۹	۱۱۳,۷۴	۱۱۳,۶۱	۷۰,۶۹	۱۳۱,۱۸	۳۲,۱۳	۹۹,۳۶	Rb
۵۳۵,۷	۵۴۲,۰۴	۶۹۵,۰۸	۸۹,۴۹	۲۳۶,۱	۲۴۲,۸۲	۲۰,۴,۷۱	۲۱۳,۱	۲۹۷,۶۲	۳۳۶,۴۰	Sr
۱۱,۳۷	۱۱,۳۸	۱۰,۰۲	۱۲,۷۷	۱۶,۱۴	۱۱,۲۶	۱۰,۸۳	۱۷,۳۴	۳,۵۵	۱۰,۴۱	Th
۳,۸۶	۳,۹۵	۲,۷۹	۲,۵۵	۳,۲۰	۲,۶۳	۲,۷۴	۴,۳۶	۱	۲,۵۴	U
۸,۰۵	۷,۵۸	۹,۸۶	۱۶,۲۱	۱۶,۶۸	۱۵,۳۷	۳۸,۵۰	۲۳,۰۷	۳۹,۶۶	۳۱,۶۹	Y
۸,۳۹	۸,۱۳	۵,۴۶	۷,۴۲	۱۰,۹۸	۸,۴۸	۱۳,۷۴	۱۱,۶۳	۸,۵۶	۱۰,۷۴	Nb
۰,۵۸	۰,۵۳	۰,۴۱	۰,۷۰	۰,۸۷	۰,۷۱	۰,۸۲	۰,۸۸	۰,۵۶	۰,۹۶	Ta
۱۷۴,۶	۱۶۹,۷	۱۰,۹,۹	۱۳۱,۶	۱۸۸,۴۰	۱۵۱,۴۰	۲۲۲,۷	۲۳۰,۵	۱۹۰,۲	۲۱۵,۷۰	Zr
۲,۹۴	۲,۸۷	۲,۷۵	۳,۳۹	۴,۵۰	۳,۷۵	۵,۷۸	۵,۶۷	۴,۶۲	۵,۱۶	Hf
۲۵,۹۳	۲۵,۰۱	۲۷,۰۷	۱۹,۸۵	۳۲,۵	۲۴,۹۹	۵,۳۸	۳۴,۵۱	۲۰,۵۶	۲۸,۷۵	La
۴۹,۹۵	۴۷,۴۶	۴۸	۳۸,۵۲	۵۷,۴۱	۴۳,۵۲	۷۲,۰۵	۶۶,۱۰	۴۳,۷۹	۵۶,۹۵	Ce
۵,۷۲	۵,۳۸	۵,۳۲	۲,۹۳	۵,۸۱	۴,۵۵	۸,۶۱	۶,۸۱۰	۵,۵۳	۶,۶۲	Pr
۲۰,۷۶	۱۹,۳۷	۱۸,۷۹	۱۳,۷۴	۱۹,۵۴	۱۵,۲۴	۲۳,۸۳	۲۲,۶۴	۲۲,۵۲	۲۵,۳۱	Nd
۳,۶۲	۳,۳۰	۲,۲۱	۲,۶۰	۳,۲۹	۲,۷۰	۷,۱۳	۴,۲۱	۵,۶۹	۵,۳۲	Sm
۰,۹۷	۰,۹۰	۰,۹۰	۰,۶۲	۰,۷۶	۰,۷۰	۱,۶۵	۰,۸۷	۱,۶۲	۱,۳۳	Eu
۲,۶۱	۲,۲۳	۲,۴۵	۲,۴۱	۲,۶۹	۲,۴۳	۶,۶۹	۳,۵۷	۶,۱۸	۵,۰۴	Gd
۱,۷۴	۱,۵۰	۱,۸۵	۲,۵۹	۲,۷۳	۲,۴۰	۶,۷۲	۳,۷۲	۶,۸۲	۵,۳۳	Dy
۰,۳۰	۰,۲۶	۰,۳۵	۰,۵۴	۰,۵۷	۰,۵۳	۱,۴۱	۰,۷۹	۱,۴۵	۱,۱۳	Ho
۰,۷۶	۰,۶۸	۰,۹۵	۱,۷۰	۱,۷۲	۱,۵۷	۳,۹۰	۲,۳۶	۴,۲۵	۳,۲۳	Er
۰,۶۷	۰,۵۷	۰,۹۴	۱,۹۱	۱,۸۹	۱,۷۶	۳,۹۲	۲,۶۵	۴,۱۸	۳,۳۸	Yb
۰,۰۹۷	۰,۰۸	۰,۱۳۷	۰,۳۰۲	۰,۲۹۹	۰,۲۷۶	۰,۵۸۹	۰,۴۱۶	۰,۶۳۹	۰,۵۳۴	Lu
۰,۳۴	۰,۳۰	۰,۳۴	۰,۴۰	۰,۴۴	۰,۳۸۸	۱,۱۱	۰,۶۰	۱,۰۶	۰,۸۶	Tb
۰,۱۰	۰,۰۹	۰,۱۴	۰,۲۷	۰,۲۸	۰,۲۵	۰,۵۹	۰,۳۸	۰,۶۲	۰,۵۰	Tm

نیمه عمیق و نفوذی با ترکیب بازی، حدواسط و فلزیک به سن ائوسن است. سنگ‌های آتشفشنای نئوژن به صورت گنبدی، و جریان گدازه دارای ترکیب بازالتی-آندرزیتی، لاهار و آندزیت-داسیت است که بخشی به وسیله‌ی نهشته‌های رسوبی آبرفتی کوتانربی پوشانده شده و روی توالی رسوبی قرمز میوسن فوران کرده است. [۴] در بررسی زمین‌شناسی منطقه نطنز-نایین سورک (که این پژوهش بخش کوچکی از آن است) سنگ‌های آتشفشنای بخش قاعده‌ای و بخش میانی توالی ائوسن را بیشتر از نوع فلزیک (ریولیتی و داسیتی) دانسته است و خاستگاه این سنگ‌ها را ذوب بخشی پوسته‌ی قاره‌ای می‌داند. او تنوع ماقماتیسم جوان‌تر از ائوسن را محصول جدایش ماقمای بازالتی قلیایی ارزیابی کرده است. این منطقه از نظر زمین ساختی دارای زمین ساخت شکننده بوده و گسل‌ها و شکستگی‌های فراوان در این منطقه از روند ساختاری اصلی کمربند ماقمایی ارومیه-دختر پیروی می‌کند.

زمین‌شناسی عمومی

منطقه‌ی مورد نظر در غرب نائین، با مختصات جغرافیایی^۱ ۳۲°۳۹' تا ۳۳°۰۰' عرض شمالی و ۵۲°۳۰' تا ۵۲°۵۵' طول شرقی، قرار گرفته است. این منطقه براساس تقسیم بندی زون‌های ساختاری ایران [۷]، در زون ارومیه-دختر واقع و موقعیت آن نسبت به زون‌های ساختاری ایران براساس [۸] نشان داده شد (شکل ۱-الف)، و نیز این منطقه بخش شمالی نقشه‌ی زمین‌شناسی [۹] کجان ۱:۱۰۰۰۰۰ را در بر می‌گیرد (شکل ۱-ب). رخنمون‌های سنگی قدیمی‌تر این منطقه واحدهای کرتاسه که شامل سنگ‌های آتشفشنای دگرگون شده و سنگ آهک‌های اربیتولین دار است و در شمال شرق منطقه رخنمون دارد. مجموعه آتشفشنای آذرآواری ائوسن نیز بخش بزرگی از این منطقه را پوشانده است و زیر سازند قرمز بالایی به سن میوسن قرار گرفته است [۱۰]. بدنه اصلی مجموعه آتشفشنای منطقه کجان طیفی از سنگ‌های آتشفشنای

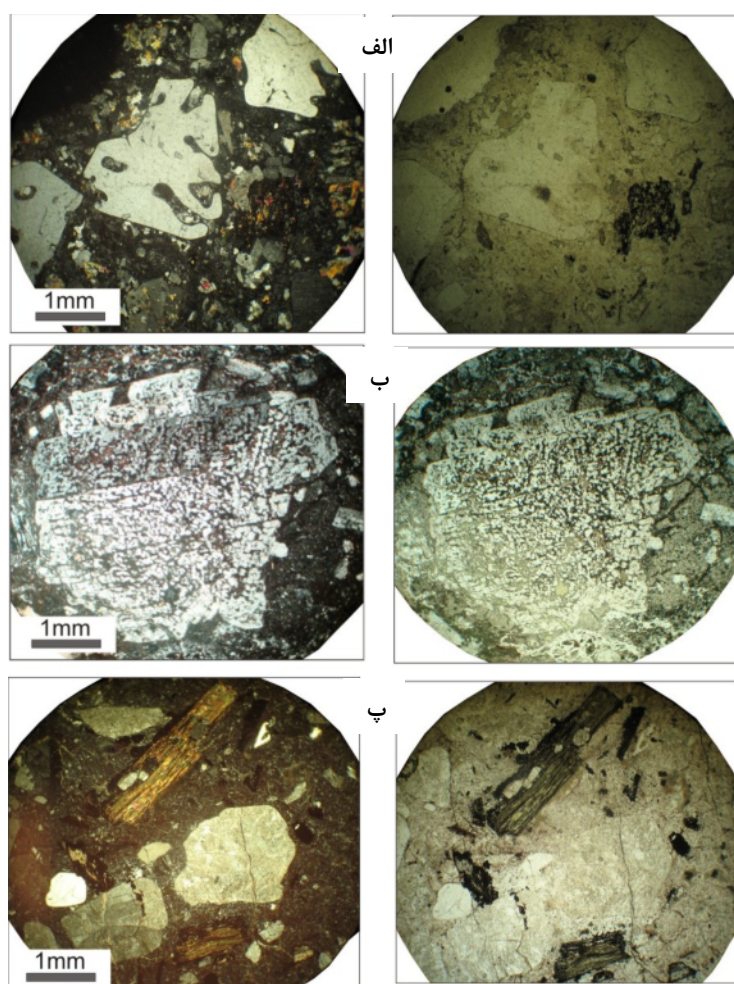


شکل ۱ (الف) موقعیت منطقه‌ی مورد بررسی نسبت به زون‌های ساختاری ایران، براساس [۸] (ب) نقشه‌ی زمین‌شناسی منطقه‌ی کجان (غرب نایین) برگرفته از [۹].

شناسی ریولیت‌ها عبارتند از: کوارتز و فلدسپات. بلورهای کوارتز اغلب گردشده و به صورت خوردگی خلیجی دیده می‌شوند (شکل ۲-الف). فلدسپات‌های دارای ترکیب حدواسط (پلازیوکلاز) که گاهی در داسیت‌ها وجود دارند، اغلب ماکل پلی‌سنتیک هستند یا منطقه‌بندی (زونینگ) نشان می‌دهند در حالی که فلدسپات‌های قلیایی به صورت ماکل دوتایی (سانیدین) خودنمایی می‌کنند. بافت غربالی و حاشیه‌ی واکنشی در پلازیوکلازها (شکل ۲-ب)، آمفیبول در حال کدر شدن (شکل ۲-پ) و بافت خلیجی کوارتز از جمله شواهد عدم تعادل کانی‌شناسی در سنگ‌های فلسیک موربد بررسی هستند. این پدیده‌ها را می‌توان به ورود دسته‌های جدید ماگما به درون حجره‌ی در حال تحول ماقمایی و نیز عوارض ناشی از برداشت فشار نسبت داد [۱۱، ۱۲].

سنگ نگاری

سنگ‌های منطقه‌ی کجان دارای طیف ترکیبی بازی تا اسیدی (فلسیک) است، و سنگ‌های فلسیک شامل ریولیت، داسیت و تراکی داسیت است. این سنگ‌ها دارای بافت غالب پوروفیریتیک و ویتروپوروفیریتیک با حضور درشت بلورهای پلازیوکلاز در زمینه‌ی ریزدانه یا شیشه‌ای هستند. این بافت‌ها نشان‌دهنده‌ی دو مرحله‌ی تبلور است، یعنی تبلور فنوکریست‌ها در عمق و در مرحله‌ی بعد شکل گیری خمیره‌ی ریزدانه یا شیشه‌ای است که در نزدیکی سطح زمین صورت می‌گیرد. در بیشتر سنگ‌های منطقه، فنوکریست‌ها یا درشت بلورها کمتر از ۲۰ درصد حجم سنگ‌های آتش‌شانی را تشکیل می‌دهند. داسیت‌ها شامل درشت بلورهای آمفیبول، بیوتیت، کوارتز، پلازیوکلاز و کانی‌های کدر است. کانی‌های آمفیبول و بیوتیت اغلب خودریخت و نیمه شکلدار بوده و بلورهای کوارتز گرد شده هستند. کانی-



شکل ۲ (الف) کوارترهای گرد شده و دارای خوردگی خلیجی، (ب) پلازیوکلاز با بافت غربالی، (پ) آمفیبول در حال کدر شدن، ردیف سمت چپ (XPL) و ردیف سمت راست (PPL) است.

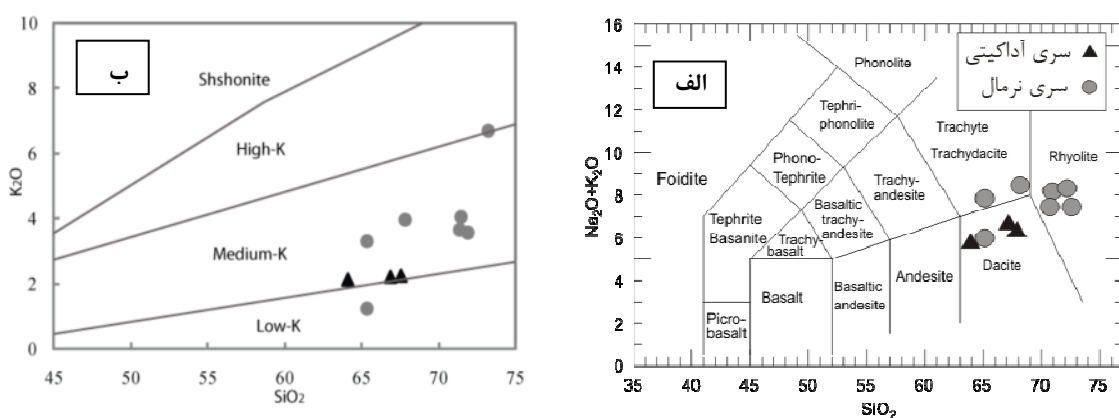
نشانه امکان درگیری آن در فرایندهای ماقمایی است [۱۸]. کاهش MgO و TiO_2 , FeO می‌تواند نشان از تحول ماقمایی به‌وسیلهٔ تبلور بخشی آمفیبول، کلینوپیروکسن و کانی‌های کدر (اکسیدهای آهن-تیتانیم‌دار) باشد. روندهای کاهشی CaO و Al_2O_3 را نیز می‌توان به جدایش همزمان پلاژیوکلاز طی تحول ماقمایی نسبت داد. مجموعهٔ فنوکریسته‌های موجود در نمونه‌های مورد بررسی این روندها را تائید می‌کند. نسبت دادن این روندهای تغییرات به تبلوربخشی نیز با مدل‌سازی نیمه کمی عناصر اصلی تایید می‌شود (شکل ۴). گدازه‌های داسیتی و ریولیتی با ترکیب‌های عناصر اصلی کم و بیش یکسان از طریق هر دو فرآیند تبلور بخشی گدازه‌های بازی مشتق از گوشهٔ [۲۰, ۱۹] و یا از گداخت بخشی سنگ‌های پوستهٔ پایینی [۲۲, ۲۱] به وجود می‌آیند. در اینجا به دلایلی می‌پردازیم که نشان‌دهندهٔ اهمیت تبلوربخشی ماقمای مادر بازی در شکل گیری سنگ‌های آتشفشنای فلزیک منطقهٔ کجان است.

روندهای تغییرات نسبت عناصر کمیاب ناسازگار همچون Zr/Hf نیز گواه بر رخداد فرآیند تبلوربخشی است. نسبت Zr/Hf تحت تاثیر تبلوربخشی مجموعه کانی‌های پلاژیوکلاز، پیروکسن و اکسیدهای Fe-Ti قرار نمی‌گیرد، ولی به درجهٔ ذوب بخشی حساس است. طی ذوب بخشی، ضربیت جدایش Hf (D_{Hf}) بزرگتر از ضربیت جدایش Zr (D_{Zr}) است [۲۳]. این در حالی است که در طول جدایش پلاژیوکلاز، پیروکسن و اکسیدهای Fe-Ti ، ضربیت جدایش این عناصر یکسان است ($D_{\text{Hf}}=D_{\text{Zr}}$). آنچه مشاهده شد مدل‌سازی عناصر اصلی با فرآیند تحول ماقمای بازی به ماقمای فلزیک از طریق تبلوربخشی هماهنگ است و ضمناً تغییرات نسبت عناصر نادر نیز آن را تایید می‌کند. به هر حال با تحول ماقمای بازی، انتظار می‌رود که ماقمای فلزیک‌تر از عناصر کمیاب به تدریج غنی و غنی‌تر شود. بنابراین باقیتی برای کاهش تدریجی تعدادی از عناصر کمیاب با پیشرفت سیلیس (که می‌توان آن را شاخص تحول ماقمایی در نظر گرفت) توضیحی مناسب ارایه کنیم. این عناصر کمیاب که اغلب خاک‌های نادر (REE) را در بر می‌گیرند، بیشتر در کانی‌های فرعی سنگ‌های آذرین همچون زیرکن متمرکز می‌شوند [۲۶]. احتمالاً این کانی‌های فرعی از گدازه‌های با مقادیر سیلیس بالا (بیش از ۶۵ درصد) جدا شده‌اند.

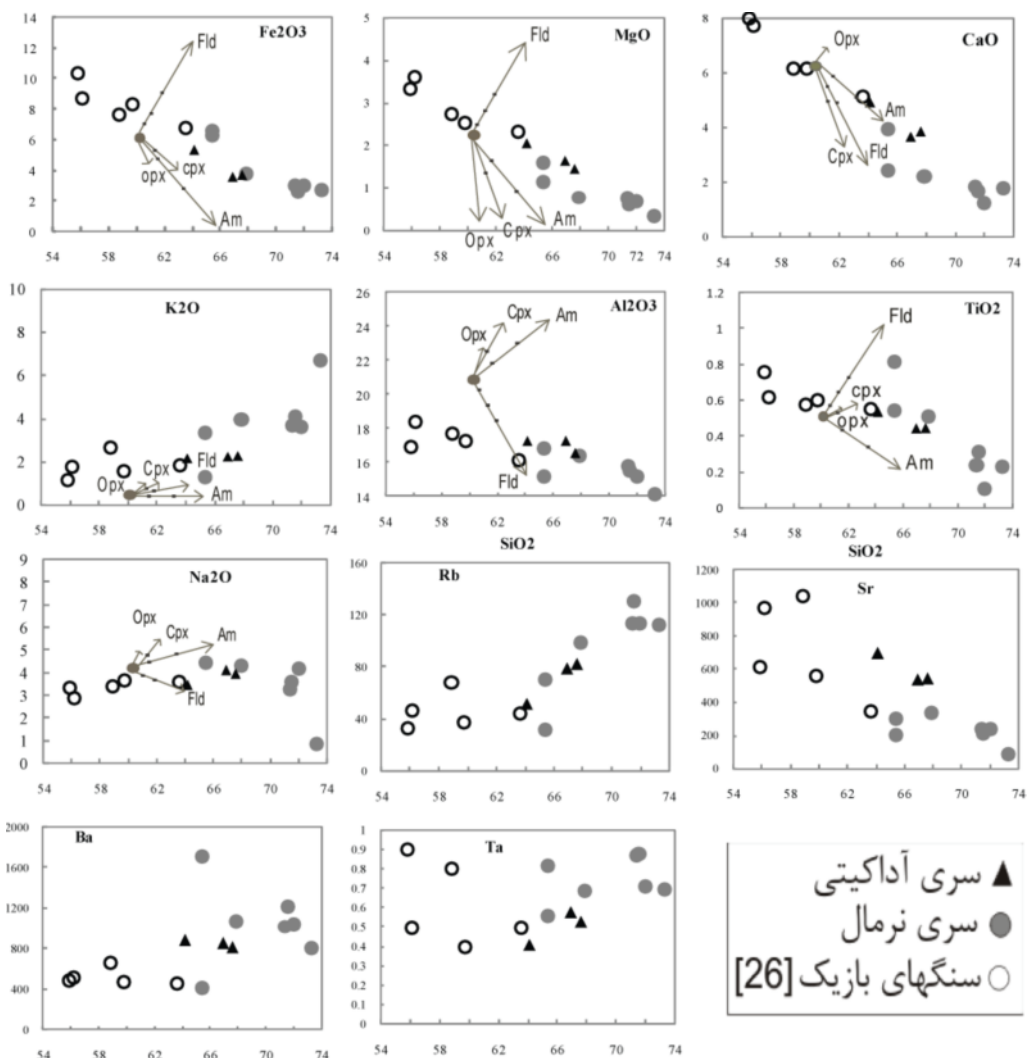
داده‌های ژئوشیمیایی (عناصر اصلی و نادر)

میزان سیلیس سنگ‌های آتشفشنای منطقه‌ی مورد بررسی ۶۴ تا ۷۳ درصد وزنی است. در نمودار مجموع عناصر قلیایی نسبت به سیلیس (TAS) [۱۳] نمونه‌ها در سه محدوده ریولیت، SiO_2 داسیت و تراکی داسیت (شکل ۳-الف) و در نمودار K_2O متوسط قرار می‌گیرند (شکل ۳-ب). نمونه‌های فلزیک مورد بررسی در نمودارهای تغییر عناصر اصلی موسوم به هارکر، کم و بیش بر روی یک روند تغییرات قرار می‌گیرند، به‌طوری که همراه با افزایش سیلیس میزان MgO و Al_2O_3 کاهش می‌یابد حال آن‌که K_2O دارای روند افزایشی است و Na_2O کم و بیش ثابت است (شکل ۴). در نمودارهای هارکر عناصر کمیاب، Ba , Rb , Nb و Ta که از ناسازگارترین عناصر کمیاب‌اند (شکل ۴)، روند تغییرات عناصر کمیاب دیگر کاهشی است. به هر حال براساس الگوهای بهنجار شده عناصر کمیاب و خاک‌های نادر (شکل ۵-الف و ب) [۱۵]، عناصر کمیاب سنگ‌های آتشفشنای منطقهٔ (کجان) دو نوع الگوی متفاوت را به خوبی نشان می‌دهند. یک سری از نمونه‌ها (نمونه‌های ZF42 و ZF34 ZF33) از خاک‌های نادر سنگین (HREE) به شدت تهی شده هستند. این نمونه‌ها قادر بهینه‌جاری منفی Eu هستند و غنی از Sr هستند. این مشخصات حاکی از هویت آداکیتی این سه نمونه‌اند. نمونه‌های آداکیتی نسبت به دیگر نمونه‌ها از MgO و Al_2O_3 ، CaO و Na_2O اندکی غنی‌تر و از Eu هستند. دیگر نمونه‌ها که ZF41 ZF40 ZF30 (نمونه‌های آداکیتی) از Eu و Sr و غنی از MgO و Al_2O_3 هستند به عنوان گروه عادی (ZF47 ZF46 ZF44 ZF43) محسولات آهکی-قلیایی عادی (REE) خوانده می‌شوند. الگوی بهنجار شده‌ی خاک‌های نادر (REE) این نمونه‌ها در بخش خاک‌های نادر سنگین (HREE) هموارند و تهی شدگی نشان نمی‌دهند (شکل ۶). نمونه‌های سری عادی دارای بهینه‌جاری منفی Eu و Sr هستند.

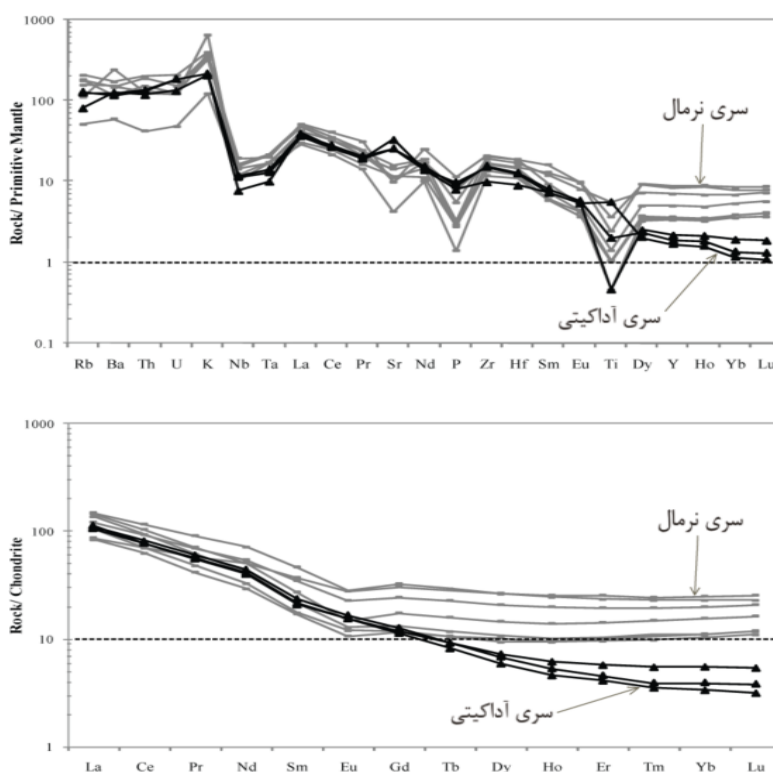
خاستگاه سنگ‌های فلزیک سری آهکی-قلیایی عادی وجه مشترک الگوی عناصر کمیاب تمامی نمونه‌های فلزیک منطقه‌ی مورد بررسی غنی‌شدنی از LILE و نسبت بالای LREE/HFSE و نیز بهینه‌جاری منفی Nb ، Ta و Ti است که از ویژگی‌های سنگ‌های آهکی-قلیایی وابسته به فرورانش است [۱۶, ۱۷]. بهینه‌جاری منفی Nb شاخص پوسته‌ی قاره‌ای و



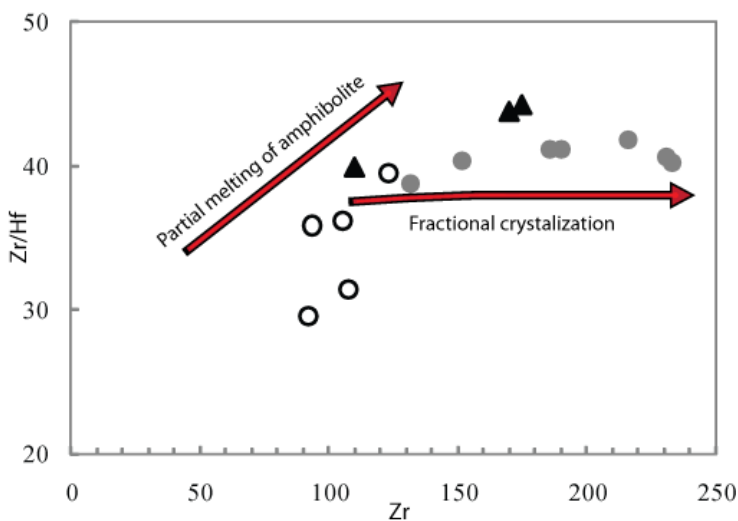
شکل ۳ موقعیت سنگ‌های آذرین منطقه‌ی مورد بررسی (کجان) روی الف) نمودار TAS [۱۳]، ب) نمودار K_2O نسبت به SiO_2 [۱۶]



شکل ۴ نمودارهای تغییرات اکسیدهای عناصر اصلی و عناصر کمیاب نسبت به سیلیس، برای سنگ‌های آذرین منطقه‌ی کجان. علاوه بر سنگ‌های فلزیک (موضوع این مقاله حاضر) سنگ‌های آتشفشنانی بازی [۲۷] نیز نشان داده شده‌اند. مدل سازی تبلور بخشی کانی‌های Cpx, Pl, Opx با پیکان فلش به نمایش درآمده است. نقطه‌ی سیاه توپر (نقطه‌ی آغازین تبلور بخشی) نماینده ترکیب گدازه‌ی اولیه فرضی است که یکی از سنگ‌های آتشفشنانی حدوداً سطح است. نقاط موجود روی پیکان‌ها با دور شدن از ترکیب گدازه‌ی اولیه به ترتیب ۱۰، ۲۰، ۳۰ و ۵۰ درصد تبلور بخشی را نشان می‌دهند.



شکل ۵ نمودار عنکبوتی و عناصر نادر خاکی سنگ‌های آذرین فلزیک منطقه‌ی کجان، بهنجار شده به گوشه‌ی اولیه و کندریت. مقادیر گوشه‌ی اولیه و کندریت برگرفته از [۱۵].



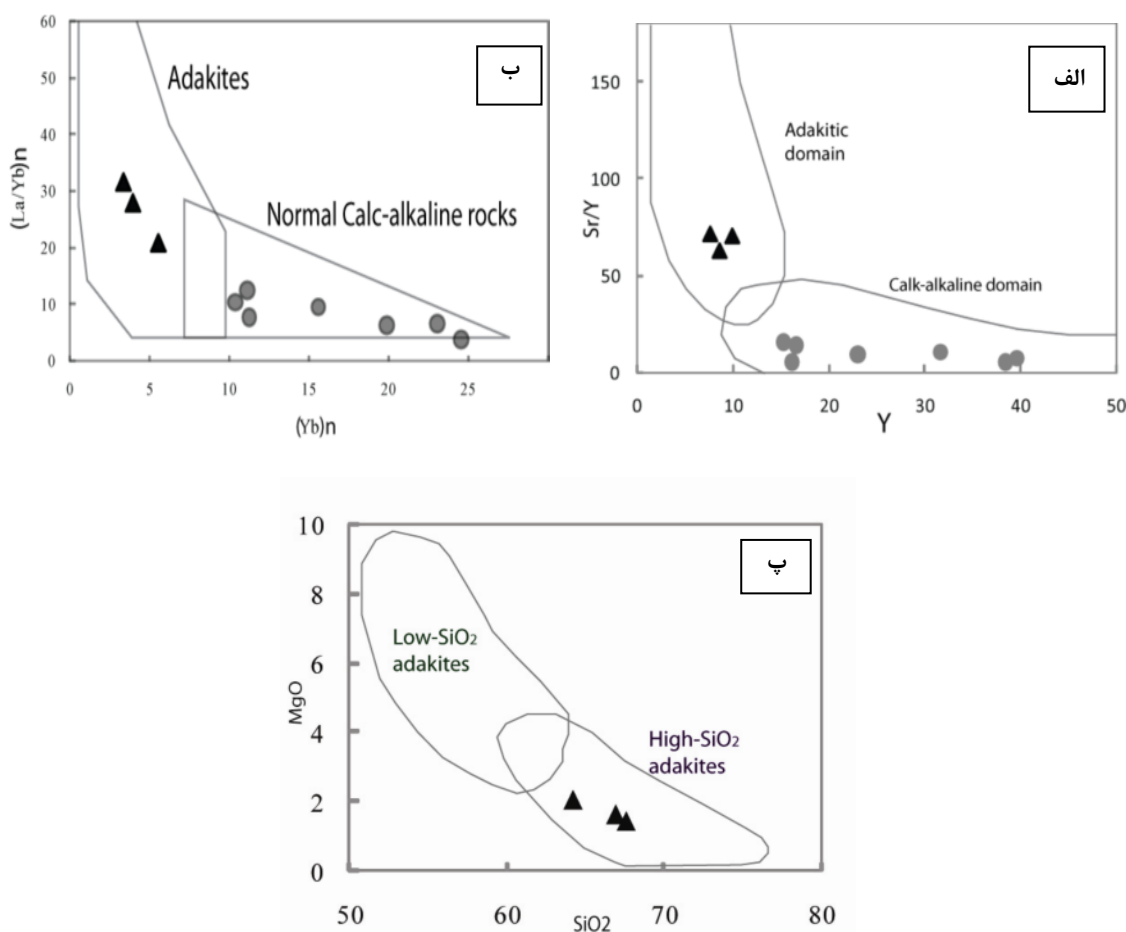
شکل ۶ (الف) نمودار نسبت به Zr برای سنگ‌های آذرین منطقه‌ی کجان. سنگ‌های بازیک‌تر برگرفته از همین منطقه (دایره تو خالی) براساس [۲۷] هستند.

خاستگاه سنگ‌های فلزیک سری آداسیت منطقه‌ی مورد بررسی به عقیده [۲۸]، سنگ‌های آداسیتی شامل سنگ‌هایی با SiO_2 بیشتر از ۵۶ درصد وزنی، Na_2O بیشتر از ۳۵ درصد وزنی، Y کمتر از ۲۰ ppm، Al_2O_3 بیشتر از ۱۵ درصد وزنی، $\text{K}_2\text{O}/\text{Na}_2\text{O}$ کمتر از ۰.۶، فقیر شدگی در Yb و HFSE هستند. سه نمونه از سنگ‌های آتشفشنای منطقه‌ی کجان از چنین ویژگی‌های ژئوشیمیایی، به ویژه نسبت‌های بالای Sr/Y

خاستگاه سنگ‌های فلزیک سری آداسیت منطقه‌ی مورد بررسی به عقیده [۲۸]، سنگ‌های آداسیتی شامل سنگ‌هایی با SiO_2 بیشتر از ۵۶ درصد وزنی، Na_2O بیشتر از ۳۵ درصد وزنی،

شناسی اکلولوژیتی آمفیبول دار پدید آمده‌اند. آداکیت‌های منطقه‌ی کجان جزء گروه آداکیت‌های سیلیس بالا قرار می‌گیرند (شکل ۷-پ)، به عقیده‌ی [۳۰] آداکیت‌های با سیلیس بالا نماینده گدازه‌های مشتق شده از سنگ‌های مافیک فرورانده شده است در حالی که آداکیت‌های با سیلیس پایین از ذوب گوهی گوشه‌ی پریدوتیتی که ترکیب‌شان در اثر واکنش با گدازه‌های فلزیک لبه تغییر یافته، پدید آمده است. آداکیت‌های کجان دارای سن پلیوسن ارزیابی شده‌اند [۹]. آداکیت‌های مشابه از جنوب شرقی و شمال غربی اصفهان [۳۱] به پلیوسن-کواترنری نسبت داده شده‌اند. به‌حال [۳۲]، سن آداکیت‌های جنوب غربی نایین را بر اساس روش K-Ar قدیمی‌تر از پلیوسن تعیین کرده‌اند.

و La/Yb بوده (شکل ۷-الف و ب) و از جمله‌ی آداکیت‌ها قرار می‌گیرند. این آداکیت‌ها دارای ترکیب داسیتی بوده و به صورت گنبده و جریان گدازه در منطقه‌ی کجان رخمنون دارند. تهی‌شدگی از عناصر نادر خاکی سنگین و Y در آداکیت‌های کجان نشان می‌دهد که ماغماهای مادر این آداکیت‌ها با یک سنگ خاستگاه گارنت‌دار (فشار بالا) در تعادل بوده است [۲۹]. در فشار بالا پلازیوکلار که میزبان اصلی Sr و Eu است فاز پایداری نیست و به همین سبب گداخت بخشی در فشار بالا که ماغماهای مادر آداکیت‌های کجان است غنی از Sr و فاقد ناهنجاری منفی Eu است. تهی‌شدگی از Ti و Nb در این آداکیت‌ها را نیز می‌توان به حضور یک فاز باقی‌مانده تیتانیم‌دار در سنگ خاستگاه آن‌ها نسبت داد، بنابراین به احتمال زیاد آداکیت‌های کجان از ذوب بخشی یک سنگ خاستگاه با کانی-



شکل ۷ سنگ‌های آذرین فلزیک منطقه‌ی مورد بررسی بروی (الف) نمودار Sr/Y نسبت به Y [۲۸]، (ب) نمودار La/Yb نسبت به Yb [۲۹] و (پ) نمودار SiO₂ نسبت به MgO [۳۰] نمودارها برای جداسازی گستره‌ی سنگ‌های نوعی آهکی-قليایی از آداکیت‌ها مورد استفاده قرار می‌گیرد، (پ) نمودار SiO₂ نسبت به MgO نمودارها برای جداسازی گستره‌ی سنگ‌های نوعی آهکی-قليایی از آداکیت‌ها مورد استفاده قرار می‌گیرد. ^۳

[۳] قربانی م.ر., "نقش تفریق ماقمایی و ذوب بخشی پوسته در تکوین سنگهای آتشفشنای اسیدی، جنوب دانسفهان"، *فصلنامه علوم زمین*، شماره ۵۵ (۱۳۸۴)، ص ۱۱۹-۱۱۴.

[۴] Amidi S.M., "Contribution a la letude stratigraphique, Petrologique, et Petrochimique des roches magmatiques de la region de Natanz-Nain-Surk (Iran central)", *These Doct Etat Grenoble* (1975).

[۵] Bacon C.R., Druitt T.H., "Compositional evolution of the zoned calcalkaline magma chamber of Mount Mazama, Crater Lake, Oregon", *Contributions to Mineralogy and Petrology* 98 (1988) 224-256.

[۶] Bullen T.D., Clyne M.A., "Trace element and isotopic constraints on magmatic evolution at Lassen Volcanic Center", *Journal of Geophysics Research* 95 (1990) 19671-19691.

[۷] آقانباتی ع، "زمین شناسی ایران"، کتاب، انتشارات سازمان زمین شناسی و اکتشاف معدنی ایران (۱۳۸۵).

[۸] Alavi M., "Tectonics of Zagros orogenic belt of Iran, new data and interpretation", *Tectonophysics* 229 (1994) 211-238.

[۹] امینی ب، امینی چهرق.م.ر., "نقشه زمین شناسی چهارگوش کجان"، مقیاس ۱/۱۰۰۰۰، سازمان زمین شناسی کشور، (۱۳۸۲).

[۱۰] Stocklin J., Nabavi M.H., "Tectonic Map of Iran (1:2,500,000)", Geological Survey of Iran.

[۱۱] Karsli O., Aydin F., Sadiklar M.B., "Magma Interaction Recorded in plagioclase Zoning in Granitoid Systems, Zigana Granitoid, Eastern Pontides, Turkey Turkish", *Journal of Earth Sciences* 13 (2004) 287-305.

[۱۲] Price R.C., Gamble J.A., Smith I.E.M., Stewart R.B., Eggins S., Wright I.C., "An integrated model for the temporal evolution of andesites and rhyolites and crustal development in New Zealand's North Island", *Journal of Volcanology and Geothermal Research* 140 (2005) 1-24.

[۱۳] Le Bas M.J., Le Maitre R.W., Streckeisen A., Zanettin B., "A chemical classification of volcanic rocks on the total alkali-silica diagram", *Journal of Petrology* 27 (1986) 745-750.

[۱۴] Peccerillo A. Taylor, "Geochemistry of Eocene calc-alkaline in Volcanic rocks from the

برداشت

سنگهای آتشفشنای فلزیک بخش چشمگیری از توالی آتشفشنای ترشیری در منطقه‌ی کجان را به خود اختصاص می‌دهند. این سنگ‌ها دارای بافت پوروفیریتیک و جریانی بوده، ترکیب داسیتی، ریوداسیتی و ریولیت دارند. براساس ژئوشیمی عناصر نادر می‌توان این سنگ‌های فلزیک را به دو سری تقسیم کرد: ۱- سری آداسیتی که از Sr غنی و از عناصر نادر سنگین تهی شده‌اند و ۲- سری آهکی- قلیابی عادی که اغلب نمونه‌ها (۷ نمونه از ۱۰ نمونه آنالیز شده) را شامل می‌شود. ماقمای مادر که به سری ماقمای آهکی- قلیابی انجامید، از ویژگی‌های ژئوشیمیابی برخوردار است که سرشت ماقماتیسم مشتق از فرورانش را نشان می‌دهد. براساس مدل‌سازی نیمه کمی عناصر اصلی و نیز تغییرات عناصر نادر (Zr/Hf) تبلور بخشی (مشتمل بر پلاژیوکلاز+پیروکسن+آمفیبول) این ماقمای مادر به محصولات فلزیک سری آهکی- قلیابی عادی غرب نایین انجامیده است. روندهای کاهشی خاک‌های نادر در سری عادی احتمالاً ناشی از تبلور بخشی فازهای فرعی (زیرکن) است. سنگ‌های آتشفشنای فلزیک سری آداسیتی غرب نایین حاصل ذوب بخشی پوسته اقیانوسی فرورونده نشوتنیس هستند.

قدردانی

از مساعدت‌های معاونت محترم پژوهشی دانشگاه تربیت مدرس در انجام این پژوهش قدردانی می‌کنیم. آقای هادی یگانه فر در عملیات صحراوی کمک‌های ارزنده‌ای کرده‌اند که بدینوسیله مراتب سپاس خود را تقدیم می‌داریم. توصیه‌های داوران محترم مجله بلوژنی و کانی‌شناسی ایران در رفع نواقص و بهبود این مقاله بسیار مؤثر بوده از ایشان نیز تشکر می‌کنیم.

مراجع

- [1] Shahabpour J., "Island-arc affinity of the central Iranian volcanic belt", *Journal of Asian Earth Sciences* 30 (2007) 652-665.
- [2] Berberian F., Berberian M., "Tectono-plutonic episodes in Iran", In: H.K. Gupta and F.M. Delany, Editors, *Zagros Hindukosh, Himalaya Geodynamic Evolution*, American Geophysical Union, Washington DC (1981) 5-32.

- [23] Tiepolo M., Bottazzi P., Foley S.F., Oberti R., Vannucci R., Zanetti A., *Fractionation of Nb and Ta from Zr and Hf at mantle depths: the role of titanian pargasite and kaersutite*, Journal of Petrology 42 (2001) 221-232.
- [24] Green T.H., Pearson N.J., *An experimental study of Nb and Ta portioning between Ti-rich minerals and silicate liquids at high pressure and temperature*, Geochimica et Cosmochimica Acta 51 (1987) 53-62.
- [25] Dunn T., Sen C., *"Mineral/matrix partition coefficients for orthopyroxene, plagioclase, and olivine in basaltic to andesitic systems: a combined analytical and experimental study"*, Geochimica et Cosmochimica Acta 58 (1994) 717-733.
- [26] Bhadra S., Das S., Bhattacharya A., *"Shear Zone-hosted Migmatites (Eastern India): the role of dynamic melting in the generation of REE-depleted felsic melts, and implications for disequilibrium melting"*, Journal of Petrology 48 (2007) 435-457.
- [27] Khodami M., Noghreyan M., Davoudian A.R., *"Geochemical constrains on the genesis of the volcanic rocks in the southeast of Isfahan area, Iran"*, Arab Journal Geoscience, (2009).
- [28] Defant M.J., Drummond M.S., *"Derivation of some modern arc magmas by melting of young subducted lithosphere"*, Nature 347 (1990) 662-665.
- [29] Martin H., *"Adakitic magmas: Modern analogues of Archaean granitoids"*, Lithos 46 (1999) 411-29.
- [30] Martin H., Smithies R.H., Rapp R., Moyen J.F., Champion D., *"An overview of adakite, tonalite-trondhjemite-granodiorite (TTG), and sanukitoid: relationships and some implications for crustal evolution"*, Lithos 79 (1-2) (2005) 1-24.
- [31] Khodami M., Noghreyan M., Davoudian A.R., *"Pliocene-Quaternary Adakite volcanism in the Isfahan area, Central Iranian magmatic belt"*, Neues Jahrb Mineralogy Abh (2009).
- [32] Yeganehfari H., Ghorbani M.R., Shinjo R., Ghaderi M., *"Magmatic and geodynamic evolution of urumieh-Dokhtar basic volcanism, Central Iran: major, trace element, isotopic and geodynamic implication"*, International Geology Review 55 (2013) 767-786.
- Kastamonu area, northern Turkey"*, Contributions to Mineralogy and Petrology 58 (1976).
- [15] Sun S.S., McDonough W.F., *"Chemical and isotopic systematic of oceanic basalts: implication for mantle composition and processes"*, In: Sunders, A.D., Norry, M.J. (Eds.), Magmatic in Oceanic Basins, Special Publication. Geology Society of London 42 (1989) 313-345.
- [16] Pearce J. A., *Trace element characteristics of lavas from destructive plate boundaries*, In: Thorpe, R. S. (ed.) Andesites. Orogenic Andesites and Related Rocks. Chichester: John Wiley (1982) 525-548.
- [17] Pearce J. A., Parkinson I. J., *Trace element models for mantle melting: application to volcanic arc petrogenesis*, In: Prichard, H. M., Alabaster, T., Harris, N. B. W. & Neary, C. R. (eds) Magmatic Processes and PlateTectonics. Geological Society 76 (1993) 373-403.
- [18] Rollinson H.R., *Using Geochemical Data: Evaluation, Presentation, Interpretation*, Longman Scientific & Technical London 352 (1993).
- [19] Singer B.S., Myers J.D., Forst C.D., *"Mid-Pleistocene lavas from the Seguam volcanic center, central Aleutian Arc: closed-system fractional crystallization of a basalt to rhyodacite eruptive site"*, Contributions to Mineralogy and Petrology 110 (1992) 87-112.
- [20] Juster T.C., Grove T.I., Perfit M.R., *Experimental constraints on the generation of FeTi basalts, andesites, and rhyodacites at the Galapagos spreading center, 85W and 95W*, Journal of Geophysical Research 94 (1989) 9251-9274.
- [21] Beard J.S., *Experimental, geological, and geochemical constraints on the origins of low-K silicic magmas in oceanic arcs*, Journal of Geophysical Research 100 (1995) 15593-15600.
- [22] Rapp R.P., Watson E.B., Miller C.F., *"Partial melting of amphibolite/eclogite and the origin of Archean trondhjemites and tonalities"*, Precambrian Research 51 (1991) 1-25.